

青扦针叶总黄酮超声提取及抗氧化活性

王 飞,樊金拴*,冯慧英,刘 滨,高智辉

(西北农林科技大学 林学院,陕西 杨陵 712100)

摘 要:对青扦针叶总黄酮超声提取工艺和抗氧化性进行了研究,在单因素试验基础上,采用响应面法优化青扦针叶总黄酮的提取工艺,并通过 DPPH·、ABTS· 的清除试验以及与 Vc、槲皮素和芦丁的总还原力进行比较,来研究青扦总黄酮的抗氧化活性。结果表明,在料液比为 1:20 的条件下,得到黄酮的最佳提取工艺为:乙醇体积分数 50.63%、超声功率 319.63 W、超声时间 49.46 min、超声温度为 64.88℃,此时青扦黄酮的提取率可达 4.118 69%。青扦针叶总黄酮对 DPPH· 清除率可达 90.21%,清除 ABTS· 的 Trolox 当量为 29 633.3 $\mu\text{mol} \cdot \text{g}^{-1}$,其还原能力优于芦丁,但不及 Vc 和槲皮素。表明青扦针叶总黄酮具有较强的抗氧化能力,可为青扦针叶黄酮资源的开发利用提供依据。

关键词:青扦针叶;总黄酮;超声提取;响应面法

中图分类号:S789.4

文献标志码:A

文章编号:1001-7461(2016)01-0243-07

Ultrasound Assisted Extraction and Antioxidant Activities of Total Flavonoids in the Needles of *Picea wilsonii*

WANG Fei, FAN Jin-shuan*, FENG Hui-ying, LIU Bin, GAO Zhi-hui

(College of Forestry, Northwest A&F University, Yangling, Shaanxi 712100, China)

Abstract: The optimal ultrasound assisted extraction conditions of total flavonoids from *Picea wilsonii* needles were investigated, in which based on the single-factor tests, the optimal values were determined by response surface analysis. Antioxidant activity of the extract was measured. The results showed that with the ratio of material to solvent 1:20, the optimum extraction conditions were ethanol concentration: 50.63% (V/V), power of the generator of the ultrasound of: 319.63 W, time of ultrasound assisted extraction 49.46 min, temperature 64.88℃, the ultrasonic power 319.63 W, and ethanol volume fraction 50.63%, by which the extraction rate of total flavonoids was 4.118 69%. The scavenging rate of the extract on DPPH· was 90.21% and the equivalent ABTS scavenging rate was 29 633.3 $\mu\text{mol} \cdot \text{g}^{-1}$, and the reducing power was better than that of rutin, but not as good as Vc and quercetin, indicating that the antioxidant effects of the total flavonoids in the needles of *P. wilsonii* was good. The results could be provide references for the development and utilization of the needles of *P. wilsonii*.

Key words: *Picea wilsonii*; total flavonoid; ultrasonic extraction; response surface methodology

黄酮类化合物广泛存在于自然界,具有抗氧化^[1-2]、抗衰老、抗炎^[3-4]、抗病毒和抗肿瘤^[5]等多种药理活性^[6],除此之外,黄酮类化合物还具保护肝脏^[7-8]和雌性激素样作用^[9],对糖尿病和心脑血管疾

病也有很好的疗效^[10-12],在食品、药品中应用非常广泛。青扦(*Picea wilsonii*)为松科(Pinaceae)云杉属(*Picea*)的常绿植物,是我国的特有树种,是分布较为广泛的针叶树种之一^[13],已有研究表明,青扦富

含黄酮并具有较高的抗氧化性^[14]。超声波辅助提取技术,因具有提取时间短、提取效率高、节约成本等优点^[15],已经广泛应用于很多植物黄酮的提取。但目前鲜有对青扦针叶中黄酮类物质超声提取的有关报道。本试验以青扦针叶为材料,利用响应面分析技术,优化青扦针叶总黄酮的超声提取工艺,并测定了青扦的抗氧化能力,为青扦针叶黄酮的进一步开发,以及青扦针叶资源的综合利用提供参考依据。

1 材料与方法

1.1 材料及预处理

供试青扦材料采自陕西省杨陵区西北农林科技大学校园;采样树高 3 m 左右,胸径约 20 cm,平均冠幅约 2.5 m。采后经阴干、粉碎、过筛后冷藏备用。

1.2 方法

1.2.1 青扦针叶黄酮的提取及含量测定 精确称取 0.500 0 g 青扦针叶粉末,置于具塞锥形瓶中,加入乙醇溶液,一定条件下经超声提取,完成后进行抽滤,最后将滤液转于 50 mL 容量瓶中定容,待测。用芦丁标准品,通过亚硝酸钠-硝酸铝法^[16-18]制备标准曲线,得到回归方程为: $y = 15.333x - 0.0080$, $R^2 = 0.9993$, (x 为芦丁质量浓度, $\text{mg} \cdot \text{mL}^{-1}$; y 为吸光度),在 $0 \sim 0.0420 \text{ mg} \cdot \text{mL}^{-1}$ 范围内线性关系良好。同法测定黄酮样液吸光度,并计算黄酮含量及提取率。

1.2.2 青扦针叶黄酮超声提取的单因素试验及其工艺优化 根据试验设计(表 1),得出每一组试验的黄酮提取率,分析各因素对青扦针叶黄酮提取率的影响。依据单因素试验的结果,可确定 $1:20 \text{ g} \cdot \text{mL}^{-1}$ 为最佳料液比,选择乙醇体积分数、超声功率、超声时间、超声温度 4 个影响因素,根据 Box-Behnken 原理设计试验的因素与水平(表 2),优化青扦针叶黄酮的超声提取工艺。

1.2.3 青扦针叶总黄酮抗氧化能力测定

1.2.3.1 DPPH·清除能力的测定 以 Trolox 标准液作阳性对照,参照 Yen、Chen、董海丽^[19-20]的方法,测定青扦针叶总黄酮的 DPPH·清除能力。

1.2.3.2 ABTS·清除能力的测定 参照 Rice-Evans^[21]的方法,制备 Trolox 的标准曲线,标准曲线回归方程为: $y = 0.0009x + 0.0533$, $R^2 = 0.9991$, (x 为 Trolox 质量浓度, $\mu\text{mol} \cdot \text{L}^{-1}$; y 为吸光度)。根据 Trolox 的标准曲线,计算 1 g 青扦黄酮的 Trolox 当量。

1.2.3.3 还原力的测定 采用普鲁士蓝法,参照

Berker K I^[22]的方法,以 Vc、芦丁、槲皮素作为对照物,配梯度浓度,测定其在 700 nm 处的吸光值;同法测得黄酮样液的吸光度,确定其还原力。

表 1 超声提取单因素试验设计

Table 1 Single factor design of ultrasonic extraction

因素	水平	其他因素
料液比/(mL · g ⁻¹)	1:10、1:20、1:30、 1:40、1:50	50%、300 W、 30 min、45℃
乙醇体积分数/%	20、30、40、50、60、70、 80、90	1:20、300 W、 30 min、45℃
超声功率/W	200、300、400、500	1:20、50%、 30 min、45℃
超声时间/min	20、30、40、50、60、70	1:20、50%、300 W、 45℃
超声温度/℃	35、45、55、65、75	1:20、50%、300 W、 30 min

表 2 响应面试验因素与水平设计

Table 2 Response surface factors and levels design

水平	因素			
	A 乙醇体积 分数/%	B 超声 功率/W	C 超声 时间/min	D 超声 温度/℃
-1	40	200	40	55
0	50	300	50	65
1	60	400	60	75

2 结果与分析

2.1 单因素试验

影响青扦针叶总黄酮超声提取的主要因素有料液比(图 1a)、乙醇体积分数(图 1b)、超声功率(图 1c)、超声时间(图 1d)和超声温度(图 1e)。

由图 1 可知,加大料液比,黄酮提取率提高,当料液比增至 $1:20$ 时,提取率基本趋于稳定,继续加大料液比,黄酮的提取率不再有大的变化。所以下一步试验均选取 $1:20$ 的料液比。乙醇体积分数在 $20\% \sim 50\%$ 的范围内,黄酮提取率会随着提高,并在乙醇体积分数 50% 时达到最高;乙醇体积分数超过 50% ,提取率下降较明显,故选 50% 为最佳乙醇体积分数。随着超声功率的增大,黄酮提取率呈现先上升后下降的趋势,在超声功率达 300 W 时最大。黄酮提取率在超声时间 $20 \sim 50 \text{ min}$ 范围内,随超声提取时间的延长而逐渐提高,在提取 50 min 后的提取率最大;超过 50 min ,随着超声时间的延长,黄酮提取率迅速下降,故最佳超声时间选择 50 min 。随着温度的升高,黄酮提取率也迅速提高,当温度升到 45°C 时,黄酮提取率增加缓慢,在 65°C 提取率达到最大;继续升高温度,提取率下降,所以超声温度选择 65°C 。

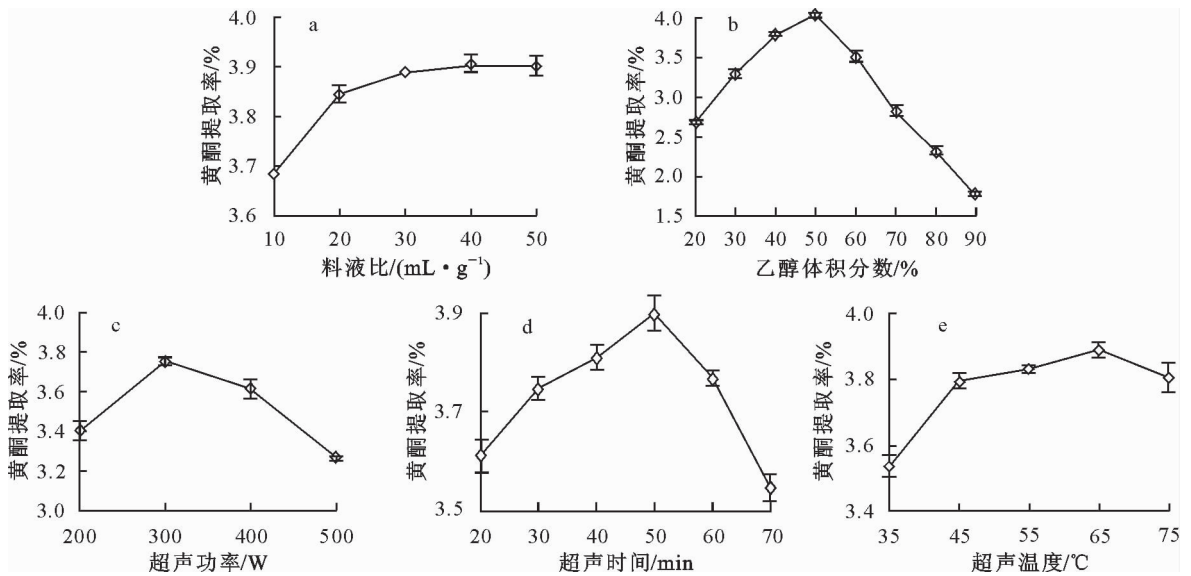


图 1 各因素对青扞针叶总黄酮提取率的影响

Fig. 1 Effect of various factors on the extraction rate of total flavonoids from the needles of *P. wilsonii*

2.2 响应面法优化青扞针叶总黄酮提取工艺条件

2.2.1 模拟方程建立 利用响应面考察乙醇体积分数、超声功率、超声时间、超声温度 4 因素对青扞针叶总黄酮提取率的影响(表 3)。采用 Design-Expert 软件经回归拟合后,得到模型方程:

$$Y = 4.11 + 0.014A + 0.060B - 0.029C - 0.002583D + 0.094AB - 0.0095AC + 0.11AD + 0.052BC - 0.063BD - 0.044CD - 0.25A^2 - 0.16B^2 - 0.17C^2 - 0.24D^2$$

表 4 为该模型的显著性差异检验及方差分析的结果。表中所示,模型 $p < 0.0001$,表明此模型为极显著,其分析结果是可信的;模型的失拟项 $p > 0.05$,表明模型误差小。模型的 R^2 为 0.9922,说明影响因素与黄酮提取率之间关系显著。预测 R^2 为 0.9844,与校正 R^2 (0.9686) 很接近,说明模型的拟合度好,可以利用此回归方程分析和预测青扞针叶黄酮的超声提取工艺。

由方差分析的结果可知,超声功率($p < 0.01$)和超声时间($p < 0.01$)是影响黄酮提取率的 2 个极显著因素。各因素 F 值可反映出对提取率的重要性, F 值越大,则影响越大^[23]。可判断 4 个因素对黄酮提取率的影响顺序为:超声功率 > 超声时间 > 乙醇体积分数 > 超声温度。模型方程中的不显著项,经删除简化后,得到的新模型结果可信,其 $p < 0.0001$, R^2 (0.9918) 的降幅很小。简化后的方程为:

$$Y = 4.11 + 0.014A + 0.060B - 0.029C - 0.002583D + 0.094AB + 0.11AD + 0.052BC - 0.063BD - 0.044CD - 0.25A^2 - 0.16B^2 - 0.17C^2 - 0.24D^2$$

表 3 响应面试验设计和结果

Table 3 Response surface design and results

试验 号码	A 乙醇 体积分数 /%	B 超声 功率 /W	C 超声 时间 /min	D 超声 温度 /°C	Y 黄酮 提取率 /%
1	0	0	0	0	4.066
2	0	0	-1	1	3.778
3	1	0	-1	0	3.738
4	0	1	1	0	3.862
5	0	-1	1	0	3.652
6	1	-1	0	0	3.561
7	-1	-1	0	0	3.712
8	1	0	1	0	3.641
9	-1	1	0	0	3.669
10	0	-1	0	-1	3.589
11	0	0	-1	-1	3.699
12	0	1	0	-1	3.823
13	0	1	-1	0	3.798
14	0	0	1	-1	3.734
15	0	1	0	1	3.681
16	0	0	1	1	3.637
17	1	1	0	0	3.895
18	1	0	0	-1	3.516
19	1	0	0	1	3.742
20	-1	0	-1	0	3.698
21	0	0	0	0	4.126
22	-1	0	0	-1	3.708
23	-1	0	0	1	3.503
24	0	-1	-1	0	3.798
25	0	0	0	0	4.132
26	0	-1	0	1	3.697
27	0	0	0	0	4.128
28	-1	0	1	0	3.639
29	0	0	0	0	4.106

表 4 方差分析结果

Table 4 Variance analysis results

方差来源	平方和	自由度	均方	F 值	p 值
模型	0.93	14	0.066	127.38	< 0.000 1
A	2.241×10^{-3}	1	2.241×10^{-3}	4.30	0.057 0
B	0.043	1	0.043	82.67	< 0.000 1
C	9.861×10^{-3}	1	9.861×10^{-3}	18.92	0.000 7
D	8.008×10^{-5}	1	8.008×10^{-5}	0.15	0.700 9
AB	0.036	1	0.036	68.18	< 0.000 1
AC	3.610×10^{-4}	1	3.610×10^{-4}	0.69	0.419 2
AD	0.046	1	0.046	89.12	< 0.000 1
BC	0.011	1	0.011	21.16	0.000 4
BD	0.016	1	0.016	29.98	< 0.000 1
CD	7.744×10^{-3}	1	7.744×10^{-3}	14.86	0.001 8
A ²	0.41	1	0.41	789.20	< 0.000 1
B ²	0.17	1	0.17	328.38	< 0.000 1
C ²	0.19	1	0.19	361.00	< 0.000 1
D ²	0.38	1	0.38	724.00	< 0.000 1
残差	7.296×10^{-3}	14	5.211×10^{-4}		
失拟项	4.292×10^{-3}	10	4.292×10^{-4}	0.57	0.784 4
误差项	3.003×10^{-3}	4	7.508×10^{-4}		
总和	0.94	28			

2.2.2 响应面图分析 各因素间交互作用的曲线走势越陡,说明影响越显著;而曲线越平滑,则其影响越小^[24]。图 2 所示,超声功率(B)与各因素间的交互作用最为复杂。图中当超声功率(B)的值一定时,随着各因素的升高,黄酮提取率会达到一个高峰,继续升高各因素值,提取率会缓慢下降。超声时间(C)与各因素之间交互作用也同样复杂。图中乙醇体积分数(A)和超声时间(C)之间的等高线近圆形,说明其交互作用($p > 0.05$)对黄酮提取率的影响不显著;其余各因素间交互作用的等高线呈椭圆形,说明这些因素间的交互作用($p < 0.01$)对黄酮的提取具极显著影响。

2.2.3 验证试验 依据试验条件,经软件分析得到最佳工艺条件为:超声温度 64.88℃、乙醇体积分数 50.63%、超声时间 49.46 min、超声功率 319.63 W,提取率可达 4.118 69%。结合实际应用,将工艺的各条件调整为超声温度 65℃、乙醇体积分数 51%、超声时间 50 min 和超声功率 320 W,此时的提取率为 4.095 12%,与理论值接近。表明该模型优化得到的工艺条件参数准确可靠。

2.3 青扦针叶总黄酮抗氧化性

2.3.1 DPPH·清除能力 图 3 所示,DPPH·清除率都随着 Trolox 和青扦黄酮浓度的增加而增加,Trolox 和青扦黄酮对 DPPH·的清除率分别达到 95.5%和 90.21%,说明青扦针叶总黄酮具有较强的 DPPH·清除能力。

2.3.2 ABTS·清除能力 图 4 可以看出,青扦黄

酮浓度与 ABTS·清除率之间有良好的线性关系。根据 Trolox 的标准曲线,计算出黄酮的 Trolox 当量为 $29\ 633.3\ \mu\text{mol} \cdot \text{g}^{-1}$ 。表明超声提取青扦黄酮具有较好的抗氧化活性。

2.3.3 总黄酮还原能力 由图 5 可以看出 Vc、芦丁、槲皮素这 3 种抗氧化剂的还原力不同,还原力由大到小为 Vc、槲皮素、芦丁。Vc、芦丁、槲皮素其线性方程分别为: $y=19.578x+0.030\ 5(R^2=0.996\ 7)$ 、 $y=14.961x+0.023\ 8(R^2=0.995\ 6)$ 、 $y=5.332\ 2x-0.009\ 8(R^2=0.992\ 3)$;在选取范围内均具有良好的线性关系。青扦黄酮的线性方程为: $y=6.661\ 3x+0.008\ (R^2=0.996\ 8)$,说明其还原能力比芦丁强,但不如 Vc 和槲皮素。

3 结论与讨论

目前自然界的青扦大部分是天然林,但是其针叶很少被有效利用。本试验以青扦针叶作为材料,超声提取其黄酮类化合物,各因素对黄酮提取率的影响顺序为:超声功率>超声时间>乙醇体积分数>超声温度。优化后得到料液比为 1:20 时的最佳工艺条件为:超声温度 64.88℃、乙醇体积分数 50.63%、超声时间 49.46 min 和超声功率 319.63 W,得到青扦针叶黄酮的提取率为 4.118 69%。超声提取能够使植物细胞破裂,黄酮成分更易溶出,有效地提高了黄酮的提取效率,结果表明,超声提取法适用于青扦针叶的黄酮提取,可为青扦针叶总黄酮的开发提供参考依据。

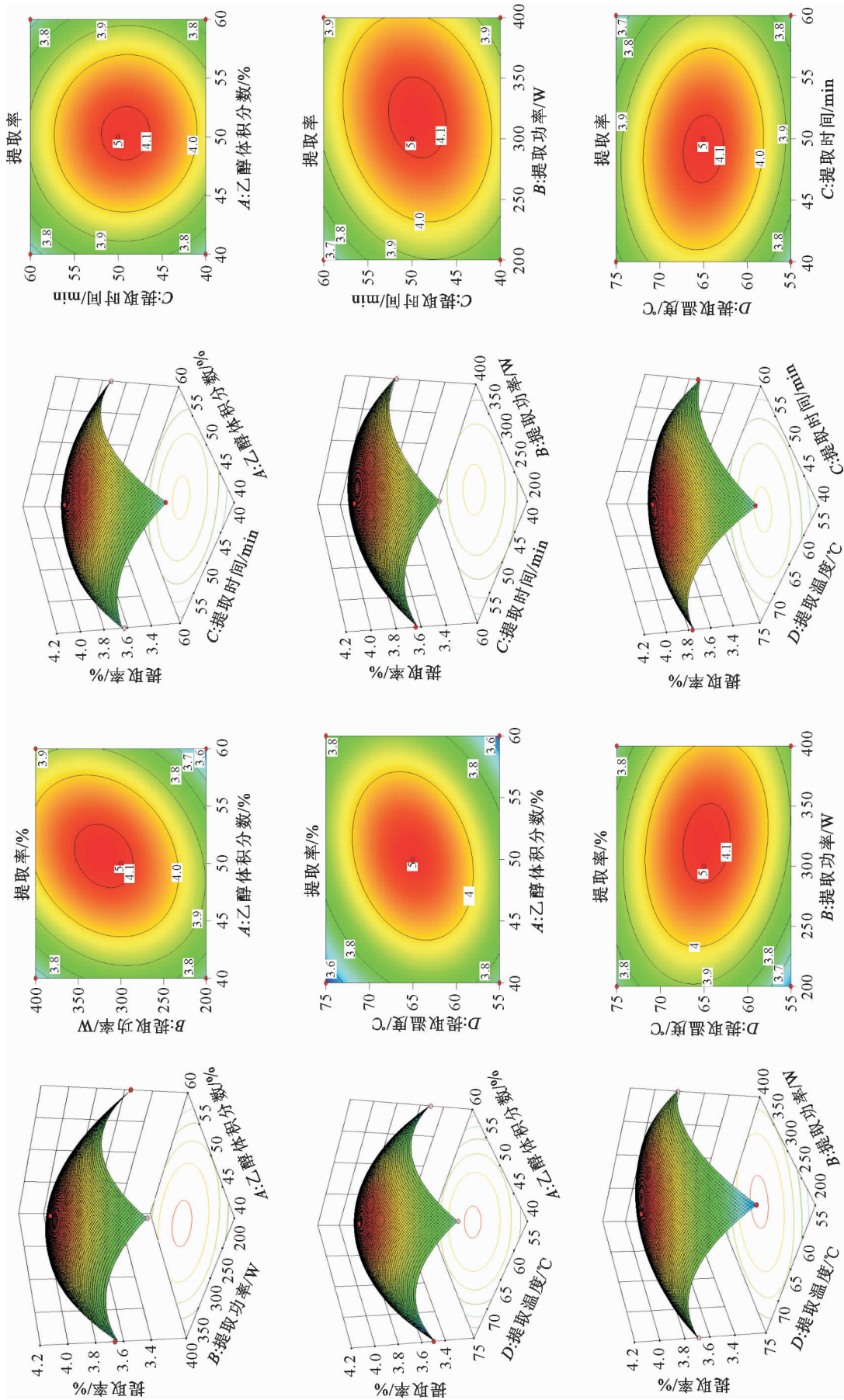


图 2 交互作用的等高线图和响应面图

Fig. 2 The contour map and response surface graph between the various factors interaction effect

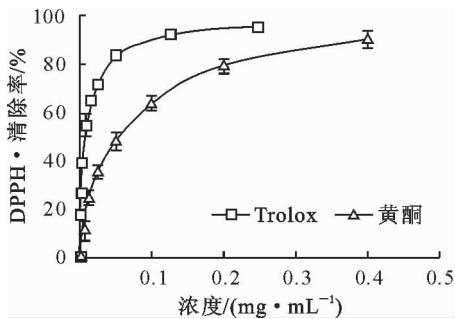


图3 黄酮清除 DPPH· 的曲线

Fig. 3 The scavenging effect on DPPH· for flavonoids

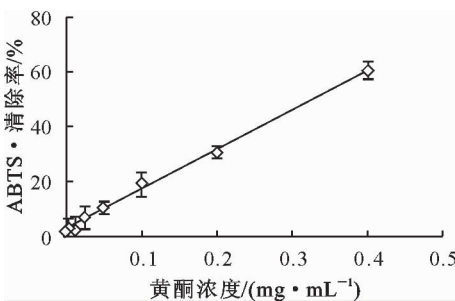


图4 青扦黄酮清除 ABTS· 的曲线

Fig. 4 The scavenging effect on ABTS· for flavonoids

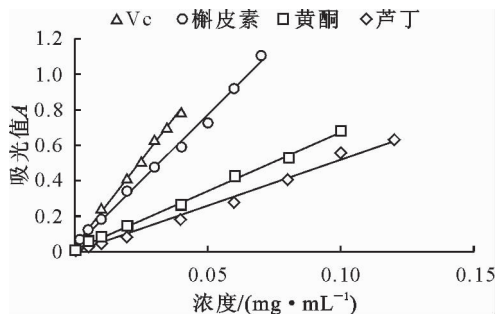


图5 不同抗氧化剂的还原力示意

Fig. 5 Reducing power graph of different antioxidants

黄酮类化合物除作为药品用于临床^[7],还可作为食品、化妆品等的天然添加剂,已有研究以黄酮为功能指标,研制和开发了松针黄酮的保健类产品^[25],具有很好的发展前景。超声提取的青扦针叶总黄酮对 DPPH· 清除率可达 90.21%,这与李小燕等^[14]研究表明的青扦具有较强的抗氧化性的结果相一致;青扦针叶总黄酮清除 ABTS· 的 Trolox 当量为 29 633.3 $\mu\text{mol} \cdot \text{g}^{-1}$,其还原力优于芦丁,但不及 Vc 和槲皮素。说明超声提取的青扦黄酮具有较好的抗氧化活性,可用作天然的抗氧化剂原料。该研究也为青扦针叶黄酮资源的进一步综合利用提供了重要依据。

参考文献:

[1] FU Y, CHEN J, LI Y J, *et al.* Antioxidant and anti-inflammatory

activities of six flavonoids separated from licorice[J]. Food Chem., 2013, 141(2): 1063-1071.

[2] KELLY E H, ANTHONY R T, DENNIS J B. Flavonoid antioxidants: chemistry, metabolism and structure-activity relationships[J]. The Journal of Nutritional Biochemistry, 2002, 13(10): 572-584.

[3] WESTON L A, MATHESIUS U. Flavonoids: their structure, biosynthesis and role in the rhizosphere, including allelopathy [J]. J. Chem. Ecol., 2013, 39(2): 283-297.

[4] FU J H, ZHENG Y Q, LI P, *et al.* Hawthorn leaves flavonoids decreases inflammation related to acute myocardial ischemia/reperfusion in anesthetized dogs[J]. Chinese J. Integr. Med., 2013, 19(8): 582-588.

[5] 王珊, 邓玲玲, 李政政, 等. 植物药物中抗肿瘤成分研究[J]. 哈尔滨商业大学学报: 自然科学版, 2012, 28(3): 260-266.

[6] 刘星雨, 周敏, 孙体健. 天然黄酮类化合物的药理活性及分离提取[J]. 中国药物与临床, 2014, 14(5): 621-623.

[7] 沈杰, 叶蕴华, 周亚伟. 藏药甘青青兰的生物活性成分研究[J]. 中国药学杂志, 2009, 44(3): 170-175.

[8] 姚新生. 天然药物化学[M]. 2 版. 北京: 人民卫生出版社, 1996: 191-195.

[9] 张鞍灵, 高锦明, 王姝清. 黄酮类化合物的分布及开发利用[J]. 西北林学院学报, 2000, 15(1): 69-74.

ZHANG A L, GAO J M, WANG Z Q. The distribution, development and utilization of the flavonoids[J]. Journal of Northwest Forestry University, 2000, 15(1): 69-74. (in Chinese)

[10] 刘馨, 李鑫, 佟宇. 银杏叶提取物对 2 型糖尿病大鼠骨骼肌 GLUT4mRNA 表达的影响[J]. 中国药学杂志, 2009, 44(10): 747-750.

[11] 宋成英, 黄俊懿, 封加福, 等. 对生物黄酮生物活性的综述[J]. 化学工程与装备, 2013, (4): 128-130.

[12] 陈良胜, 方应权. 松针黄酮类物质药理作用研究进展[J]. 中外医疗, 2012, (17): 5-6.

CHEN L S, FANG Y Q. The yellow ketone of a pine needle matter pharmacology effect studies progressing [J]. China Foreign Medical Treatment, 2012, (17): 5-6. (in Chinese)

[13] 中国科学院《中国植物志》编辑委员会. 中国植物志: 第 1 卷 [M]. 北京: 科学出版社, 2004: 106-110.

[14] 李小燕, 刘贤德, 张宏斌, 等. 几种云杉属植物叶片提取物的抗氧化性研究[J]. 甘肃农业大学学报, 2014, 49(6): 102-106.

[15] 胡爱军. 食品超声技术[M]. 北京: 化学工业出版社, 2013: 74.

[16] 张志良, 翟伟箴. 植物生理学实验指导[M]. 北京: 高等教育出版社, 2003: 173-175.

[17] 杨慧珍, 王安柱, 慕小倩. 不同品种桃叶不同生长期总黄酮含量的差异比较[J]. 西北林学院学报, 2014, 30(5): 133-136.

YANG H Z, WANG A Z, MU X Q. Comparison of the differences in flavonoid contents in the leaves of different peach cultivars in different growing periods[J]. Journal of Northwest Forestry University, 2014, 30(5): 133-136. (in Chinese)

[18] 李红娟, 樊金控, 郑涛, 等. 响应面法优化核桃青皮黄酮的超声提取工艺研究[J]. 北方园艺, 2013, (14): 132-136.

[19] YEN G C, CHEN H Y. Antioxidant activity of various tea extracts in relation to their anti-mutagenicity. [J]. Journal of Agriculture and Food Chemistry, 1995, 43(1): 27-32.

[20] 董海丽, 王谦. 枇杷叶总黄酮超高压提取及抗氧化活性[J]. 中

- 国农学通报,2011,27(5):489-492.
- [21] RICE-EVANS C A, MILLER N J, PAGANGA G. Structure-antioxidant activity relationships of flavonoids and phenolic acids[J]. *Free Radical Biology and Medicine*, 1996, 20: 933-956.
- [22] BERKER K I, GÜÇLÜ K, TOR İ, *et al.* Total antioxidant capacity assay using optimized ferricyanide/prussian blue method[J]. *Food Analytical Methods*, 2010, 3(3): 154-168.
- [23] 张卫丽, 韩雅莉. 响应面法优化马尾松松针中总黄酮提取工艺[J]. *广东工业大学学报*, 2013, 30(1): 115-119.
- [24] 周辉. 响应面法优化超声波辅助乙醇提取余甘多酚的工艺研究[J]. *热带作物学报*, 2013, 34(12): 2489-2494.
- ZHOU H. Technology of optimizing ultrasonic-assisted ethanol to extract polyphenols from *Phyllanthus emblica* L. by the method of response surface analysis[J]. *Chinese Journal of Tropical Crops*, 2013, 34(12): 2489-2494. (in Chinese)
- [25] 黄佳鑫, 邓丽映, 卢铭瑜, 等. 松针芹菜复合保健饮料加工工艺研究[J]. *食品研究与开发*, 2013, 34(5): 47-50.
-
- (上接第 225 页)
- [5] 肖笃宁. 景观生态学的理论、方法和应用[M]. 北京: 中国林业出版社, 1991.
- [6] FOX J. Land use and landscape dynamics in northern Thailand- Assessing change in three upland watersheds [J]. *Ambio*, 1995, 24(6): 328-334.
- [7] TURNER II B L, SKOLE D L. Global land use/land cover change :towards an intergrated program of study[J]. *Ambio*, 1994, 23(1): 91-95.
- [8] LAMBIN ERIC F, TURNER B L, GEIST HELMUT J. *et al.* The causes of land-use and land-cover change; moving beyond the myths[J]. *Global Environment Change*, 2001, 11(4): 261-269.
- [9] 陈文波, 肖笃宁, 李秀珍. 景观空间分析的特征和主要内容[J]. *生态学报*, 2002, 22(7): 1080-1087.
- CHEN W B, XIAO D N, LI X Z. The characteristics and contents of landscape spatial analysis[J]. *Acta Ecologica Sinica*, 2002, 22(7): 1080 -1087. (in Chinese)
- [10] 赵华甫, 朱玉环, 吴克宁, 等. 基于动态指标的城乡交错带边界界定方法研究[J]. *中国土地科学*, 2012, 26(9): 60-65.
- ZHAO H F, ZHU Y H, WU K N, *et al.* Study on the method for the demarcation of Urban-rural fringe based on land use dynamic indicator[J]. *China Land Science*, 2012, 26(9): 60-65. (in Chinese)
- [11] 史利江, 王圣云, 姚晓军, 等. 1994-2006 年上海市土地利用时空变化特征及驱动力分析[J]. *长江流域资源与环境*, 2012, 21(12): 1468-1479.
- SHI L J, WANG S Y, YAO X J, *et al.* Spatial and temporal variation characteristics of landuse and its driving force in Shanghai City from 1994 to 2006 [J]. *Resources and Environment in the Yangtze Basin*, 2012, 21(12): 1468-1479. (in Chinese)
- [12] 年雁云, 王晓利, 陈璐. 1930-2010 年额济纳三角洲土地利用景观格局变化[J]. *应用生态学报*, 2015, 26(3): 777-785.
- NIAN Y Y, WANG X L, CHEN L. Land use pattern change in Ejin Delta of northwest China during 1930-2010[J]. *Chinese Journal of Applied Ecology*, 2015, 26(3): 777-785. (in Chinese)
- [13] FUJIHARA M, KIKUCHI T. Changes in the landscape structure of the Nagara River Basin, central Japan[J]. *Landscape and Urban Planning*, 2005, 7(4): 271-281.
- [14] 么欣欣, 韩春兰, 刘洪彬, 等. 基于 RS 与 GIS 的沈阳市土地利用及景观格局变化[J]. *水土保持研究*, 2014, 21(2): 158-167.
- YAO X X, HAN C L, LIU H B, *et al.* Changes of land use and landscape pattern in Shenyang City based on RS and GIS[J]. *Research of Soil and Water Conesevation* , 2014, 21(2): 158-167. (in Chinese)
- [15] DAIYUAN PAN, GERALD DOMON. Temporal (1958-1993) and spatial patterns of land use changes in Haut-Saint-Laurent (Quebec, Canada) and their relation to landscape physical attributes[J]. *Landscape Ecology*, 1999, 14: 35-52.
- [16] TURNER M G, R H GARDNER. Quantitative methods in landscape ecology[M]. New York: Springer-verlag, 1991.
- [17] HOBBERERS R. Future landscapes and future of landscape ecology[J]. *Landscape and Urban Planning*, 1997, 37: 1-9.